

# Progetto di Metodi statistici per l'apprendimento: K-Nearest Neighbors

Studente: Marco Odore - Matricola: 868906

## Sommario

Implementazione in R e C++ dell'algoritmo K-nearest neighbors e sua applicazione ad un problema di classificazione binaria, nella sua versione classica e online.

## Keywords

Apprendimento Supervisionato — K-NN — Classificazione binaria

## Indice

<b>Introduction</b>	<b>1</b>
0.1 Il dataset	1
0.2 Ottimizzazione delle performance	2
<b>1 Metodi e valutazione dei modelli</b>	<b>2</b>
1.1 K-NN	2
1.2 K-NN online	2
1.3 Nested Cross-Validation	2
1.4 Rischio sequenziale	2
<b>2 Sperimentazione e analisi</b>	<b>2</b>
2.1 K-NN senza normalizzazione	3
2.2 K-NN con normalizzazione dei dati	3
2.3 K-NN online senza normalizzazione	4
2.4 K-NN online con normalizzazione dei dati	4
2.5 Principal Component Analysis	5
<b>3 Lavori futuri</b>	<b>6</b>
<b>Riferimenti bibliografici</b>	<b>6</b>

## Introduzione

Si è scelto di implementare in R l'algoritmo di apprendimento supervisionato K-NN e di applicarlo ad un problema di classificazione binario, dove si vuole associare ad una persona il suo possibile reddito annuale (discretizzato, tramite una soglia, a due valori possibili), date alcune sue informazioni di base.

### Il dataset

Il dataset utilizzato [1] contiene 48842 istanze, ognuna delle quali è caratterizzata da 14 feature:

- **Età** - Tipo continuo
- **Workclass** - Tipo nominale (8 valori possibili)
- **Fnlwgt** - Tipo continuo

- **Education** - Tipo nominale (16 valori possibili)
- **Education-num** - Tipo continuo (trasformazione di education in tipo continuo)
- **Marital-status** - Tipo nominale (7 valori possibili)
- **Occupation** - Tipo nominale (14 valori possibili)
- **Relationship** - Tipo nominale (6 valori possibili)
- **Race** - Tipo nominale (6 valori possibili)
- **Sex** - Tipo nominale (2 valori possibili)
- **Capital-gain** - Tipo continuo
- **Capital-loss** - Tipo continuo
- **Hours-per-week** - Tipo continuo
- **Native-country** - Tipo nominale (41 valori possibili)

Per rendere l'input gestibile da K-NN, si sono trasformate le feature di tipo nominale in una serie di feature binarie, e cioè utilizzando delle variabili dummy per ogni possibile valore che la feature può assumere<sup>1</sup>.

Per quanto riguarda l'etichettatura, ognuna delle istanze può assumere due possibili valori, e cioè

- **classe 1:**  $\leq 50k$
- **classe 2:**  $> 50k$

Il dataset risulta essere sbilanciato, in quanto la classe 2 rappresenta il 23.93% del dataset (la classe 1 il 76.07%). Inoltre al suo interno vi sono alcune istanze che per alcune feature non possiede specificazioni. Per questa motivazione si è deciso di escluderle dal processo di valutazione ed apprendimento, riducendo così la cardinalità complessiva del dataset a 45222 istanze<sup>2</sup>.

<sup>1</sup>Con l'introduzione delle variabili dummy si è passati a 88 feature complessive.

<sup>2</sup>Senza le istanze con valori sconosciuti le percentuali delle classi 1 e 2 si attestano rispettivamente su 75.22% e 24.78%.

## Ottimizzazione delle performance

Data la lentezza dell'algoritmo K-NN, soprattutto con grandi dataset, si è deciso di implementare la funzione di ricerca per i  $k$  più vicini in C++, che rispetto ad R risulta molto più veloce. Per quanto riguarda il task di *cross-validation* invece, si è deciso di parallelizzarlo grazie ad una funzione fornita da una libreria di R<sup>3</sup>, che ha permesso di suddividere agevolmente il problema.

### 1. Metodi e valutazione dei modelli

Per il problema trattato si sono utilizzate due versioni di K-NN, e cioè quella classica e quella online.

#### K-NN

Questo algoritmo permette di generare un classificatore  $h_{k-NN}$  memorizzando l'intero training set fornito in input e calibrando un suo parametro  $k$ , il quale permette di gestire l'underfitting e l'overfitting sul problema.

L'assegnazione dell'etichetta ad un'istanza  $x$  avviene nella seguente maniera:

$h_{k-NN}(x)$  = la maggioranza delle etichette  $y_i$  delle  $k$  istanze  $x_i$  più vicine a  $x$

In tal senso, per stabilire quanto sono vicine due istanze, si è deciso di utilizzare come metrica la *distanza euclidea*, calcolata come:

$$dist(x, x') = \sqrt{\sum_{i=1}^d (x_i - x'_i)^2}$$

#### K-NN online

Si tratta di una variante di K-NN che in fase di training opera nella seguente maniera:

- Prova a classificare l'istanza  $x_t$  usando K-NN sull'insieme  $S$ .
- Se  $h_{k-NN}(x_t) \neq y_t$  aggiungi  $x_t$  all'insieme  $S$ .

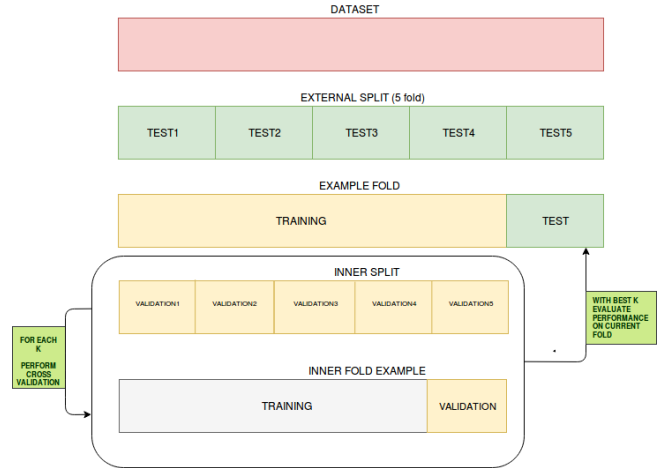
L'algoritmo inizia da un insieme  $S$  vuoto, aggiungendovi man mano esempi quando sbaglia, lasciandolo inalterato invece quando non commette errori.

#### Nested Cross-Validation

Per la stima delle performance dei classificatori generati dalla versione base di K-NN e quella online si è deciso di utilizzare la *cross-validation esterna* a 5 fold, sfruttando come metrica il *test error*[2], calcolato come segue:

$$\tilde{er}(h_{k-NN}) = \frac{1}{n} \sum_{i=1}^n l(y_i, h_{k-NN}(x_i))$$

<sup>3</sup>*parLapply*, nella libreria di R *parallel*.



**Figura 1.** Il modo in cui è avvenuto lo split del dataset sia per la cross validazione esterna (split più esterno) sia per la cross validazione interna (split interno sui singoli training set di ogni rispettivo fold)

Dove  $l$  è la funzione di perdita *zero-uno*, che vale 1 nel caso in cui il predittore commette un errore, 0 altrimenti. Calcolata come segue:

$$l(y_t, h_{k-NN}(x_t)) = I\{y_t \neq h_{k-NN}(x_t)\}$$

Dove  $I$  è la funzione identità.

Per selezionare invece il  $k$  ottimale automaticamente, si è effettuata una cross-validation interna, sempre a 5 fold, sia nella fase di selezione finale (dove viene scelto il  $k$  finale del modello), sia per la selezione del  $k$  ottimale di ogni singolo fold generato dalla cross validazione esterna. Nella figura 1 sono mostrati i passi della *nested cross-validation* (cross validazione interna + cross validazione esterna)

#### Rischio sequenziale

Nel caso specifico di K-NN online si è deciso inoltre di valutare l'andamento del rischio sequenziale[3] sull'intero dataset, calcolato come segue:

$$er_{seq}(t) = \frac{1}{t} \sum_{i=1}^t l(y_i, h_{k-NN}(x_i))$$

ad ogni passo  $t$ , e cioè alla  $t$ -esima istanza fornita in pasto all'algoritmo.

## 2. Sperimentazione e analisi

La sperimentazione è stata effettuata sia normalizzando i dati, sia in assenza di normalizzazione, questo per verificare l'impatto che questa procedura ha sulle performance dei classificatori generati.

Il tipo di normalizzazione effettuato è quello che trasforma le specificazioni delle feature in specificazioni di una normale

fold	k
1	29
2	25
3	25
4	27
5	25

**Tabella 1.** I k ottimi generati per ogni fold.

class	precision
1	0.7921+-0.0036
2	0.8206+-0.0136

**Tabella 2.** La precision finale per le due classi.

standard. Ogni nuovo valore per ogni istanza  $x$  è stato infatti ottenuto come segue:

$$x'_i = \frac{x_i - \mu_i}{\sigma_i}$$

Dove  $\mu_i$  rappresenta la media campionaria su tutti i valori delle istanze della feature/dimensione  $i$ , mentre  $\sigma_i$  è la relativa deviazione standard campionaria.

La ricerca del parametro  $k$  è avvenuta su di un set di 26 possibili valori<sup>4</sup>.

### K-NN senza normalizzazione

Le curve del test error al variare di  $k$ , valutate tramite cross-validation interna per ogni fold, hanno un andamento molto simile, come si evince dalla figura 2.

Il test error ha infatti il classico comportamento che si può osservare in K-NN, e cioè diminuisce progressivamente fino ad arrivare ad un  $k^*$  ottimo in cui l'errore è minimo, per poi ritornare a salire nuovamente. I  $k^*$  ottimi ottenuti risultano essere poi relativamente vicini per ogni fold (così come il test error), come si evince dalla tabella 1.

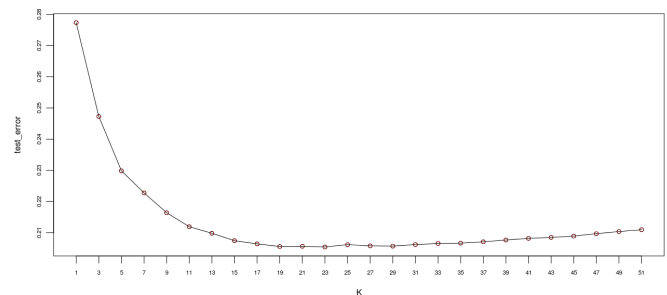
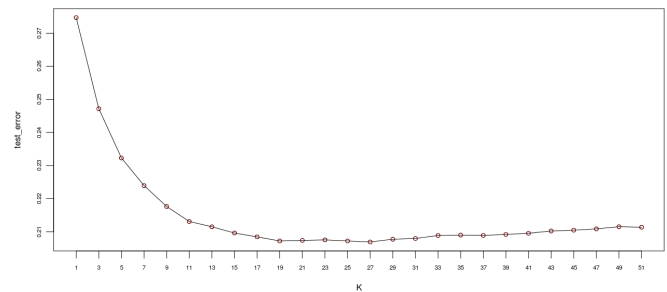
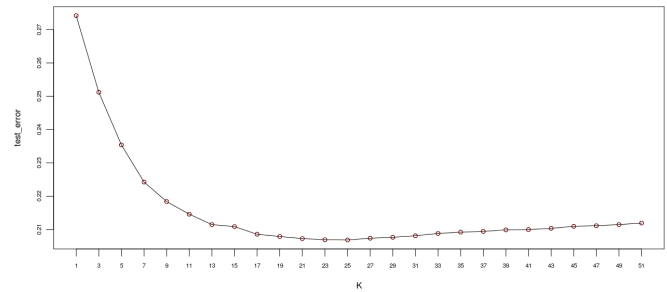
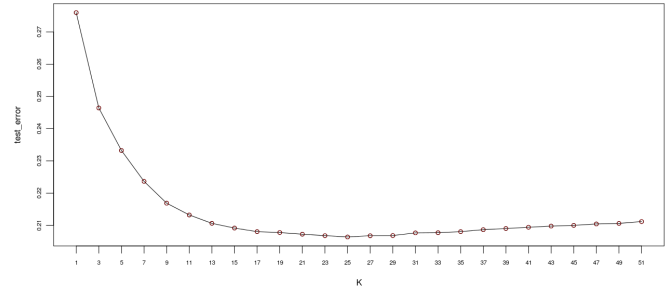
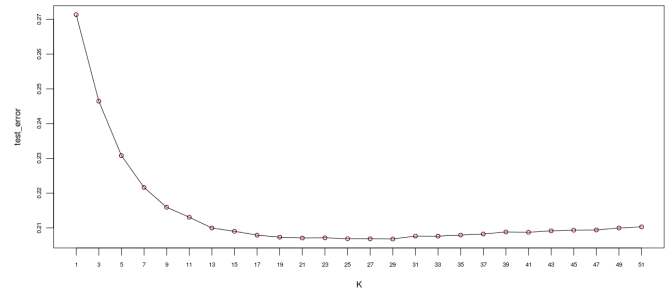
La performance finale del classificatore con selezione automatica del  $k^*$  ottimo, valutata con cross validazione esterna, si attesta sul 79% di accuratezza. Infine è stato selezionato il  $k$  finale del modello, con una nuova cross validation interna, questa volta su tutto il dataset, che è risultato essere pari a 25. L'andamento del test error al variare di  $k$  sulla cross-validation interna finale, è mostrata nella figura 3.

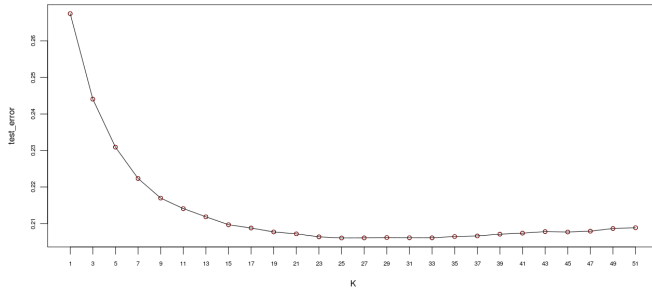
Nelle tabelle 2 e 3 vi sono un po' di statistiche dettagliate su questa specifica sperimentazione.

### K-NN con normalizzazione dei dati

A seguito della normalizzazione dei dati, i  $k^*$  ottimi generati per ogni fold, a seguito della cross validazione interna, risultano essere tutti inferiori ai  $k^*$  ottimi generati dal dataset non

<sup>4</sup> $K=\{1, 3, 5, 7, 9, 11, 13, 15, 17, 19, 21, 23, 25, 27, 29, 31, 33, 35, 37, 39, 41, 43, 45, 47, 49, 51\}$

**Figura 2.** Test error (della cross validazione interna al fold) al variare di  $k$  per ogni singolo fold.



**Figura 3.** Test error al variare di  $k$  per la cross validazione interna finale.

time	accuracy	finalK
81524.295	0.7940+-0.0029	25

**Tabella 3.** Alcune statistiche della sperimentazione. Il tempo totale per effettuare la nested cross-validation, espresso in secondi, l'accuratezza finale +- deviazione standard e il  $k$  finale selezionato.

normalizzato, come si evince dalla tabella 4.

Inoltre il test error medio risultato della cross-validazione esterna risulta essere inferiore (accuratezza dell'83%). Vi è però un netto calo della precision per la classe 2, a differenza della classe 1, che invece sembra guadagnare molto dalla normalizzazione, come si può notare dalla tabella 5 (confronto con tabella 2).

Infine il  $k^*$  ottimo selezionato con la cross-validazione interna finale applicata all'intero dataset è risultato essere 31. L'andamento del test error medio per la selezione del parametro ottimale, al variare di  $k$ , è mostrato nella figura 4. Nella tabella 6 vi sono delle statistiche relative a questa specifica sperimentazione.

Nel complesso, la standardizzazione ha effettivamente apportato delle variazioni di performance, anche se non totalmente positivo, come si evince dall'aumento dei falsi positivi per la classe 2.

### K-NN online senza normalizzazione

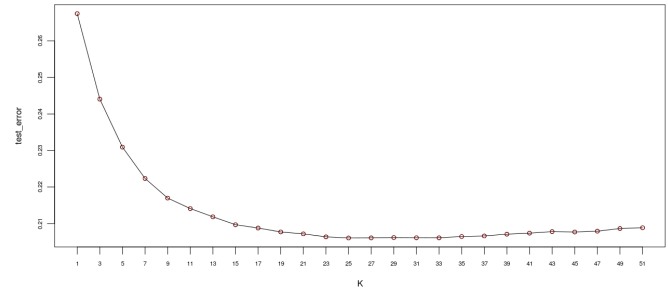
Passando all'analisi dell'algoritmo online, si è comunque cercato di selezionare un  $k^*$  ottimale, automaticamente, tramite cross-validazione interna sull'intero dataset, applicando per ogni test set K-NN base e usando l'insieme  $S$  generato da ogni singolo training set dello split.

fold	k
1	25
2	21
3	23
4	21
5	21

**Tabella 4.** I  $k$  ottimi generati per ogni fold, dal dataset normalizzato.

class	precision
1	0.8665+-0.0033
2	0.7001+-0.0084

**Tabella 5.** La precision finale per le due classi, per il dataset normalizzato.



**Figura 4.** Test error al variare di  $k$  per la cross validazione interna finale, per il dataset normalizzato.

Come si può notare dalla figura 5, in questo caso l'andamento del test error al variare di  $k$  è molto più irregolare rispetto alla versione non online dell'algoritmo, e segue dei bruschi cambiamenti di direzione. Questo è giustificato dal fatto che in fase di learning l'insieme  $S$  generato da ogni training set della cross-validation interna può cambiare anche radicalmente come contenuto (a causa della variabile  $k$ ), e quindi può portare a risultati nettamente differenti in fase di valutazione sul validation set. Il  $k^*$  ottimo è risultato essere 19.

Per quanto riguarda l'analisi del rischio sequenziale, calcolato sull'intero dataset, utilizzando come  $k$  il  $k^*$  ottimo selezionato precedentemente, questo decresce molto rapidamente, fino a stabilizzarsi verso un test error di 0.33 (accuratezza del 67%), come si può notare dalla figura 6.

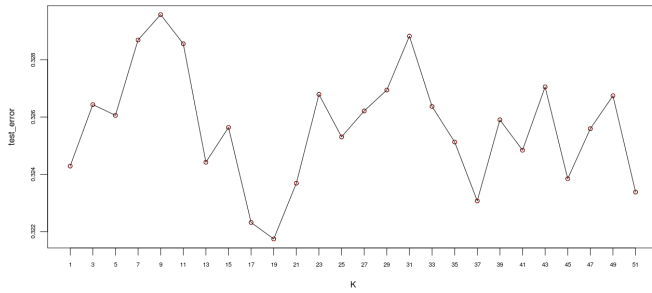
Come conseguenza, si può notare dalla figura 7 come la cardinalità dell'insieme  $S$  cresca linearmente con l'arrivo di nuovi esempi, arrivando a contenere un totale di 14942 istanze (il 33% dell'intero dataset, che è anche il valore del test error finale).

### K-NN online con normalizzazione dei dati

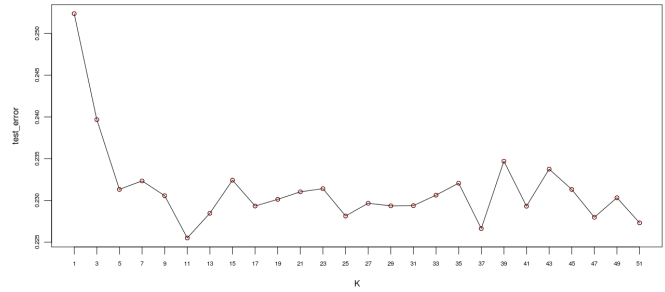
Anche in questo caso si è provato a selezionare il  $k^*$  ottimale tramite cross-validation interna sull'intero dataset. Ma a differenza del dataset non normalizzato, il test error medio al variare di  $k$  sembra essere più regolare come si evince dalla figura 8, anche se comunque presenta degli andamenti più bruschi rispetto al K-NN base. Il  $k^*$  è risultato essere uguale a

time	accuracy	finalK
79695.457	0.8329+-0.0019	31

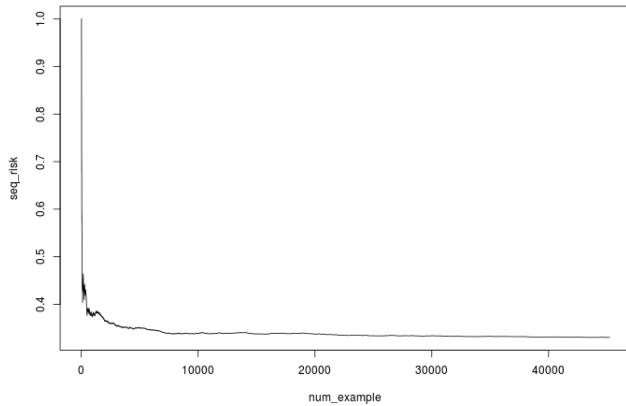
**Tabella 6.** Alcune statistiche della sperimentazione con normalizzazione del dataset. Il tempo totale per effettuare la nested cross-validation, espresso in secondi, l'accuratezza finale +- deviazione standard e il  $k$  finale selezionato.



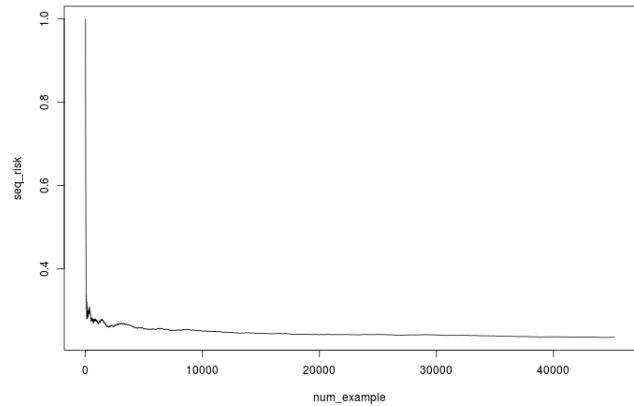
**Figura 5.** Test error per K-NN online, al variare di  $k$  per la cross validazione interna finale. Dataset non normalizzato.



**Figura 8.** Test error per K-NN online, al variare di  $k$  per la cross validazione interna finale. Dataset normalizzato.



**Figura 6.** Rischio sequenziale con  $k = 19$ . Il rischio decresce dopo pochissimi esempi verso valori tra lo 0.33 e 0.40. Dataset non normalizzato.



**Figura 9.** Rischio sequenziale con  $k = 11$ . Il rischio decresce dopo pochissimi esempi verso valori tra lo 0.23 e 0.30. Dataset normalizzato.

11.

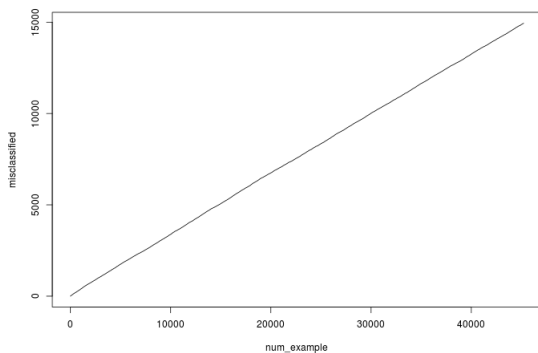
Per quanto riguarda il rischio sequenziale, anche se l'andamento è il medesimo rispetto al dataset non normalizzato (discesa molto brusca verso valori stabili, figura 9) si può notare un netto miglioramento a livello di performance. Il test error finale si attesta infatti su valori intorno allo 0.23-0.24. Valori che sono decisamente inferiori rispetto ai risultati precedentemente ottenuti con il dataset non normalizzato.

Come conseguenza della stabilità del rischio sequenziale, la cardinalità dell'insieme  $S$  ha una crescita lineare anche in questo caso, come si evince dalla figura 10.

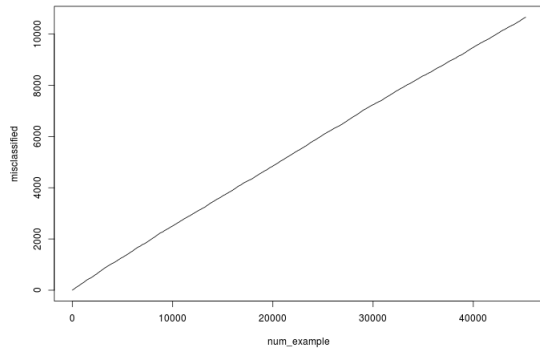
In conclusione si può dire che la normalizzazione delle feature abbia portato ad una variazione in positivo delle performance del classificatore online (prendendo in considerazione il solo test error). Per un'analisi più accurata e statisticamente significativa, sarà comunque necessario eseguire più shuffling del dataset e rieseguire i test effettuati.

## Principal Component Analysis

Al fine di studiare una possibile *feature selection* dei dati disponibili, sia per migliorare le performance dei predittori, che per rendere il processo di valutazione e di learning più veloce,



**Figura 7.** Cardinalità dell'insieme  $S$  (ordinate) con l'arrivo dei nuovi esempi (ascisse). Dataset non normalizzato.



**Figura 10.** Cardinalità dell'insieme  $S$  (ordinate) con l'arrivo dei nuovi esempi (ascisse). Dataset normalizzato.

è stata eseguita una  $PCA$ [4]<sup>5</sup> sull'intero dataset.

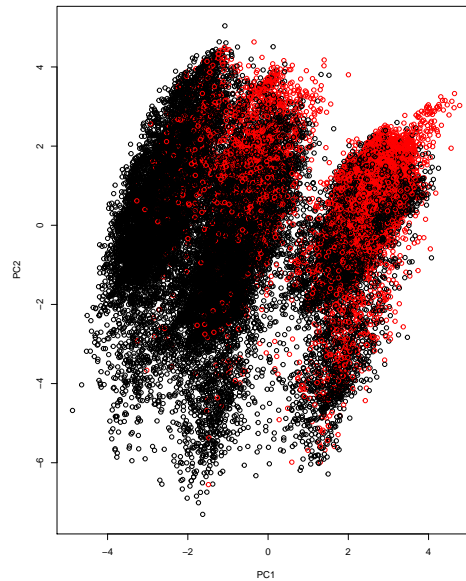
La Principal Component Analysis permette di generare un nuovo insieme di feature, che sono ottenute come combinazione lineare delle precedenti. Le nuove feature risultano poi ordinate per varianza, la quale può essere utilizzata come criterio di selezione delle stesse.

Il calcolo della PCA è stato effettuato tramite la funzione di R *prcomp*, utilizzando il dataset normalizzato.

Andando ad analizzare le prime due componenti principali (le componenti che maggiormente massimizzano la varianza dei punti) è possibile notare come le due classi siano sovrapposte nello spazio (figura 11). È evidente però che ci sia un'area in cui la classe 2 è preponderante, a differenza della classe 1 che risulta ben distribuita nello spazio. Questo ci suggerisce che il problema possa essere linearmente separabile (sfruttando le altre componenti) e quindi che sia possibile sfruttare algoritmi di apprendimento come il Perceptron o come la Support Vector Machine (sia nella versione base o sfruttando i kernel).

### 3. Lavori futuri

- Introduzione di altre metriche per la valutazione, come la Recall, la F-measure e la AUC per la curva ROC.
- Verifica delle performance a seguito dello shuffling dei dati.
- Verifica delle performance su diversi sub-set di feature.
- Applicazione di diversi metodi di normalizzazione delle feature (ad esempio normalizzazione nel range  $[0,1]$ , oppure normalizzazione al vettore unitario).
- Analisi del training error e del test error al variare di  $k$ .



**Figura 11.** Analisi delle prime due componenti. La classe 1 è rappresentata dai punti neri, mentre la classe 2 dai punti rossi.

### Riferimenti bibliografici

- [1] M. Lichman. UCI machine learning repository. 2013. <https://archive.ics.uci.edu/ml/datasets/adult>
- [2] N. Cesa-Bianchi. Test error. Dispense del corso di Metodi statistici per l'apprendimento. 2017. <http://cesa-bianchi.di.unimi.it/MSA/Note/5-statRisk.pdf>
- [3] N. Cesa-Bianchi. Rischio sequenziale. Dispense del corso di Metodi statistici per l'apprendimento. 2017. <http://cesa-bianchi.di.unimi.it/MSA/Note/10-ogd.pdf>
- [4] N. Cesa-Bianchi. Riduzione della dimensionalità. Dispense del corso di Metodi statistici per l'apprendimento. 2017. <http://cesa-bianchi.di.unimi.it/MSA/Note/17-svd.pdf>

<sup>5</sup>Si parla più propriamente *feature extraction* in questo caso.